

## 4.2 CARACTERIZACION DE CEPAS

### 4.2.1 Estudios de Tipificación.

Las veinte cepas tomadas inicialmente en el desarrollo de este trabajo, mostraron identidad frente al serotipo A Vallée de la fiebre aftosa. Se utilizó uno de los pasajes obtenidos en la adaptación de los virus a cultivos celulares.

### 4.2.2 Estudios de Subtipificación.

Los mismos antígenos fueron sometidos a la prueba de subtipificación, previa titulación con 4 UHC 50%, usando sueros hiperinmunes de los subtipos A18, A24, A26, A27, A31, A32 y A Sabana/74, con una concentración de 2 UFC 50% y 4 UHC 50% (Tabla 7, Figuras 4 y 5).

Las cepas A27-67, A6304, A8046, A8877, A8914, A8947 y A8954, se identifican antigénicamente con el subtipo A27 de referencia. Las cepas A5287, A6000, A6111, A6336, A7510 y A7915, se identifican respectivamente con los subtipos A31,

TABLA 7 Subtipificación de veinte cepas del virus tipo A de la fiebre aftosa adaptadas a cultivo celular BHK

Cepa	Pasa je BHK	Porcentaje de F. del C.						
		Antisueros						
		A18	A24	A26	A27	A31	A32	ASab
A27-67	5	68	45	12	100	28	12	10
A5287	5	7	41	11	7	100	9	7
A6000	4	11	100	80	14	9	24	61
A6111	6	100	33	23	30	26	34	26
A6304	5	19	82	17	100	44	14	52
A6336	5	29	70	53	41	18	100	77
A6462	6	7	95	100	9	11	29	32
A7510	5	21	73	52	26	21	37	100
A7915	5	50	38	10	50	12	100	23
A8048	6	67	76	24	100	53	22	68
A8381	4	56	100	17	64	20	15	98
A8480	5	39	98	29	33	33	79	100
A8517	6	52	30	12	100	25	16	68
A8877	3	32	83	15	100	60	30	95
A8914	3	90	32	12	100	26	12	44
A8947	4	32	91	7	100	21	7	39
A8954	5	27	60	18	100	18	18	53
A9122	3	100	100	20	50	21	20	35
A9160	3	20	100	14	19	100	12	35
A9218	3	7	100	93	5	9	99	74

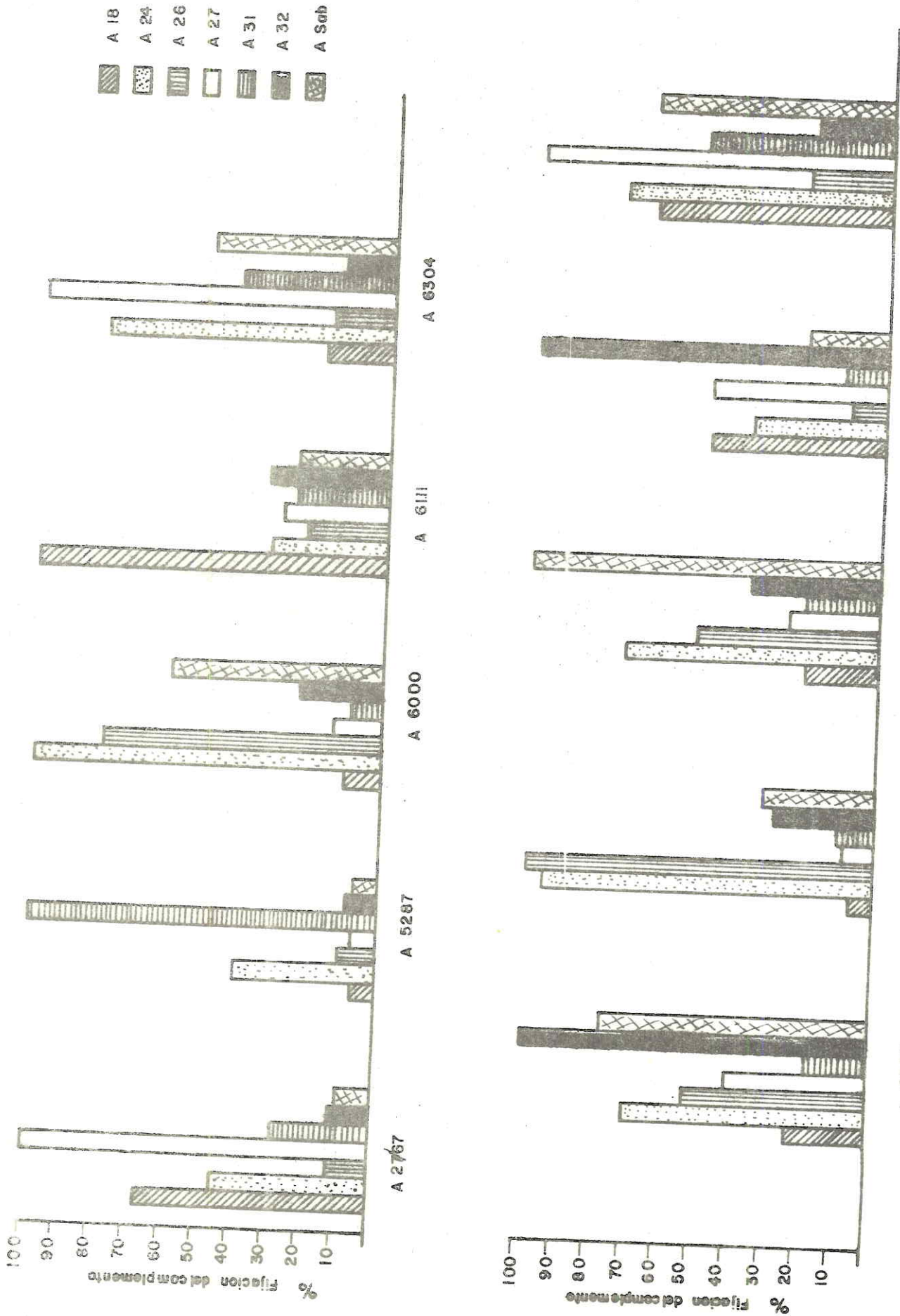


Figura 4 Subtipificaciones de 20 cepas del virus tipo A de la fiebre aftosa expresadas en porcentaje de fijación del complemento.

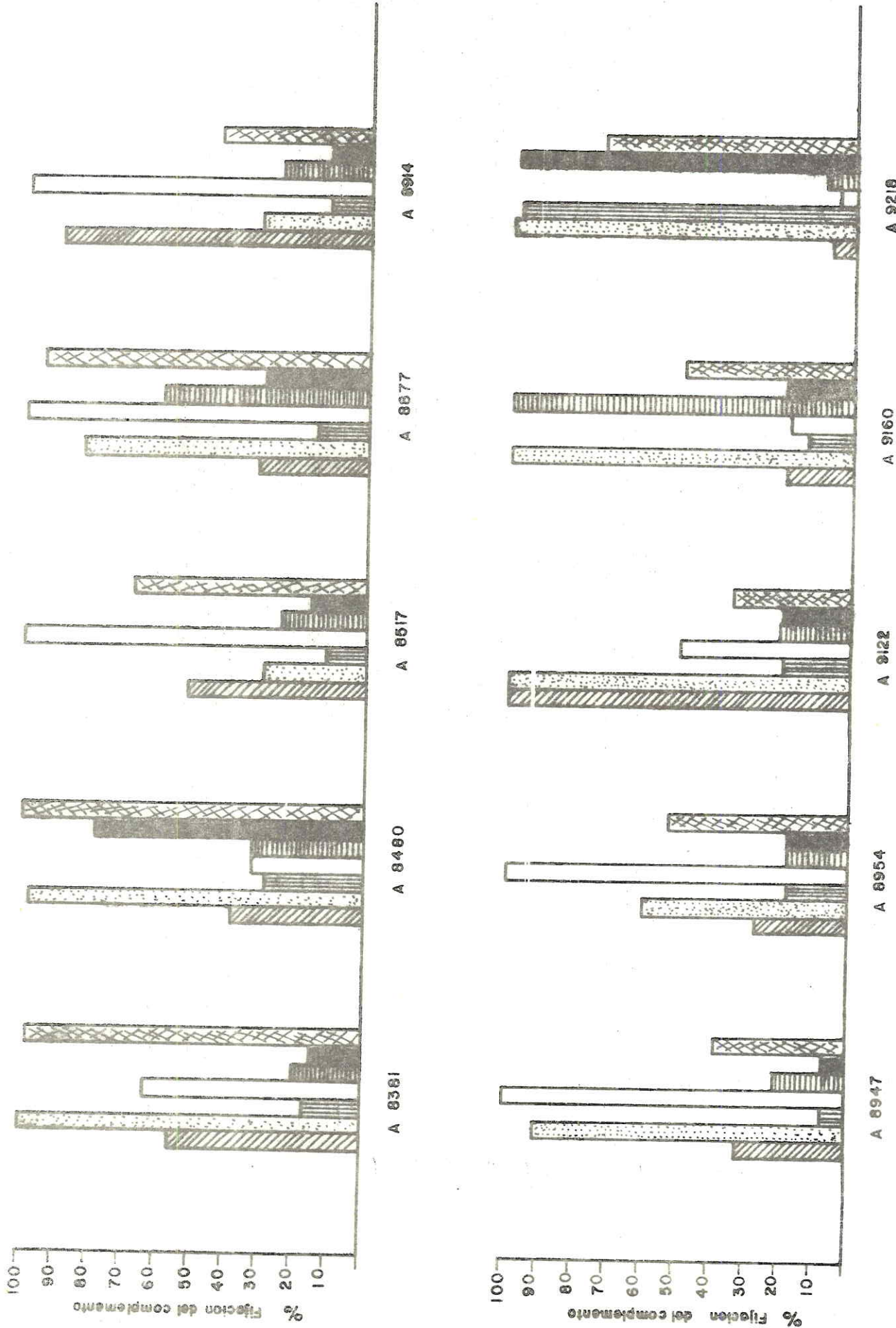


Figura 5 Subtipificaciones de 20 cepas del virus tipo A de la fiebre aftosa expresadas en porcentaje de fijación del complemento.

A24, A18, A32 y A Sabana/74, mientras que con las cepas A6462, A8381, A9122, A9160 y A9218 no se logra una ubicación definida frente a los sueros representativos de los diferentes subtipos de Colombia y demás países Suramericanos.

De cada uno de los tres grupos anteriores, se seleccionaron dos cepas representativas (A6000, A6304, A7510, A8046, A8480 y A8381) teniendo en cuenta la importancia epidemiológica, las características antigénicas y su utilización como cepas vacunales.

La Tabla 8 y las Figuras 6 a 8 presentan los valores de F. del C. promediales de tres replicaciones de cada una de las cepas de material original bovino y en la Tabla 9, los valores de tres replicaciones para cada cepa utilizando 2 UFC 50%.

La cepa A6000 presenta un buen poder fijante frente al suero A24 de referencia, lo que permite ubicarla dentro del grupo de cepas pertenecientes a este subtipo. Sin embargo, se observa que a las dos concentraciones de antígeno utilizadas existe un considerable grado de fijación frente a los sueros

TABLA 8 Promedio de los valores de subtipificación de la fiebre aftosa A6000, A6304, A7510, A8046, A8381 y A8480 de material de epitelio lingual bovino

Cepa	UFC 50% Ag	Porcentaje de F. del C.						
		Antisueros						
		A18	A24	A26	A27	A31	A32	ASab
A6000	2	25	100	82	16	14	50	85
A6000	2.5	13	100	61	15	13	43	69
A6304	2	66	33	15	100	17	9	16
A6304	2.5	64	31	18	100	18	12	22
A7510	2	7	83	60	9	16	43	100
A7510	2.5	14	79	53	15	22	39	100
A8046	2	92	72	30	100	57	29	65
A8046	2.5	79	60	27	100	45	17	35
A8381	2	34	97	17	94	28	26	100
A8381	2.5	29	98	24	83	35	30	100
A8480	2	100	64	51	70	49	49	55
A8480	2.5	100	58	45	56	44	46	41

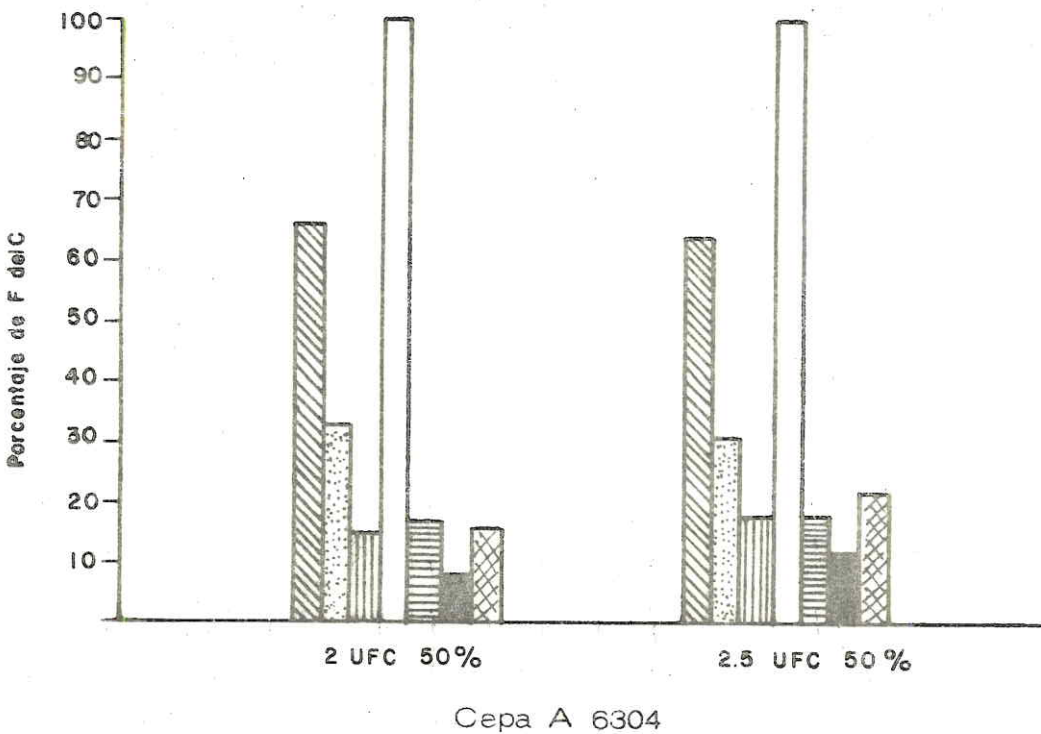
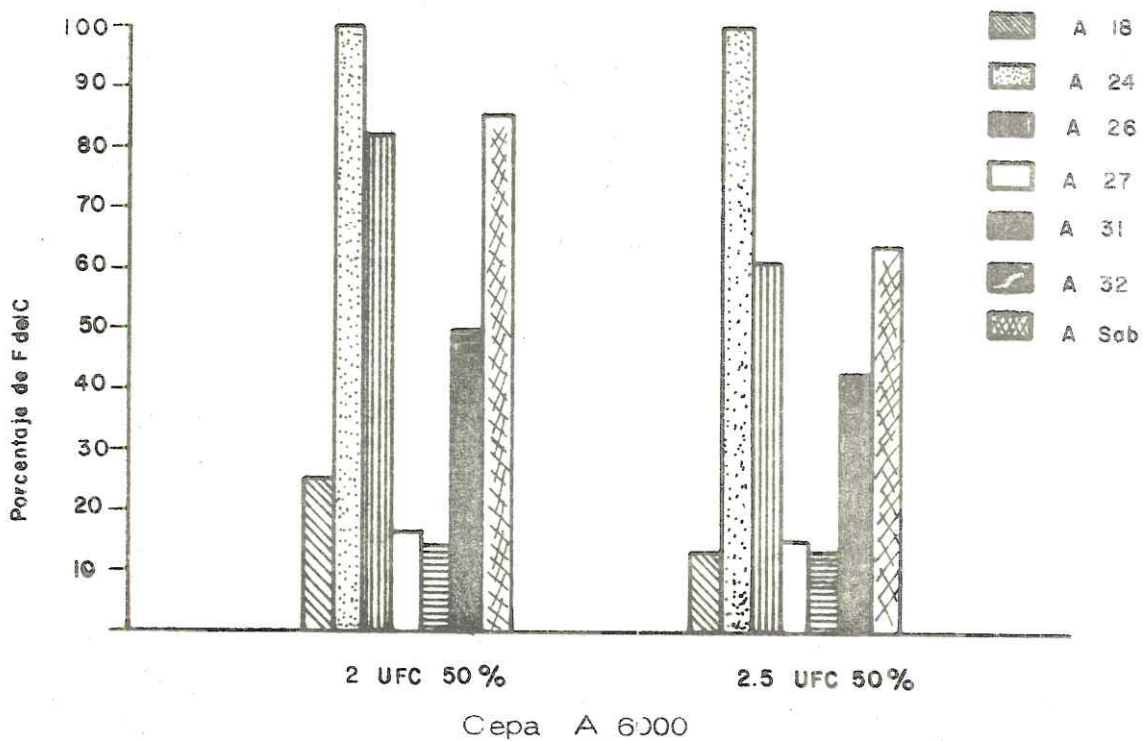


Figura 6 Subtipificaciones de las cepas originales de epitelio bovino A6000 y A6304 utilizando 2 concentraciones de antígeno.

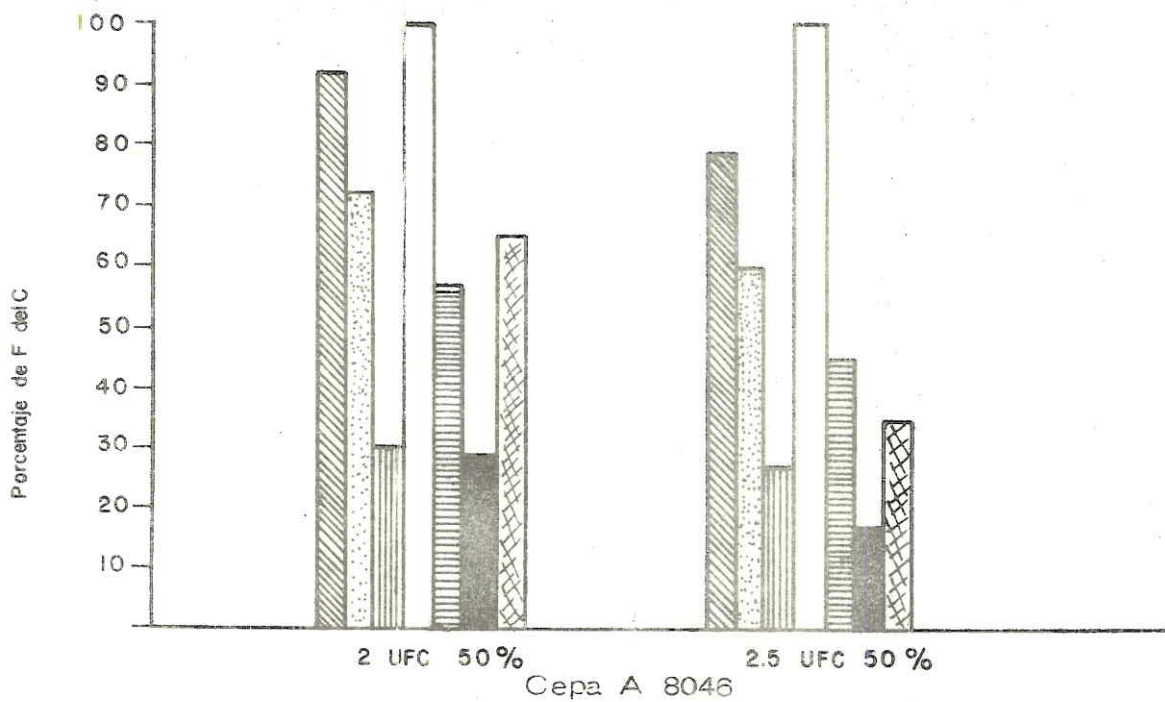
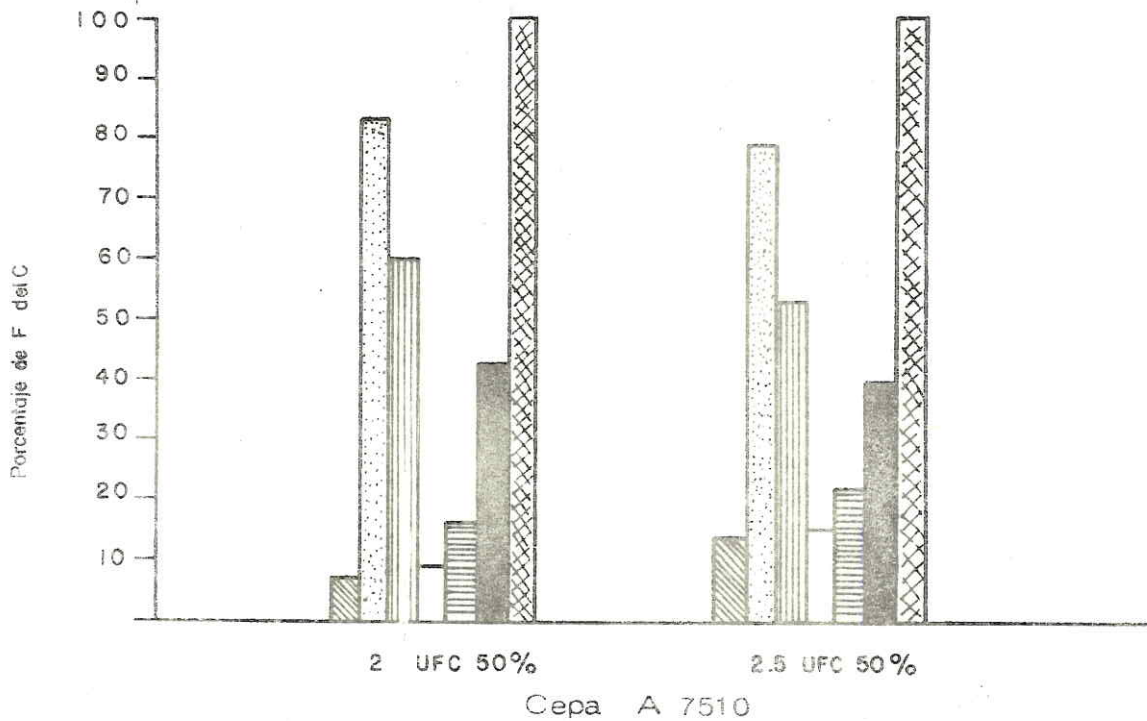


Figura 7 Subtipificaciones de las cepas originales de epitelio bovino A7510 y A8046 utilizando 2 concentraciones de antígeno.

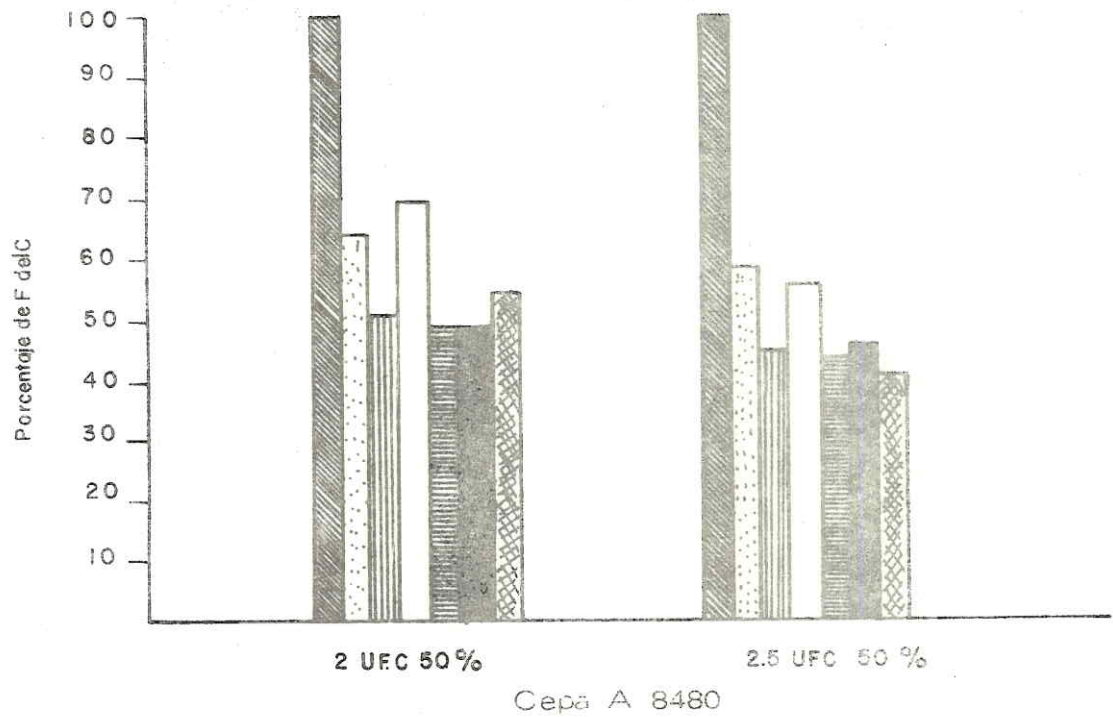
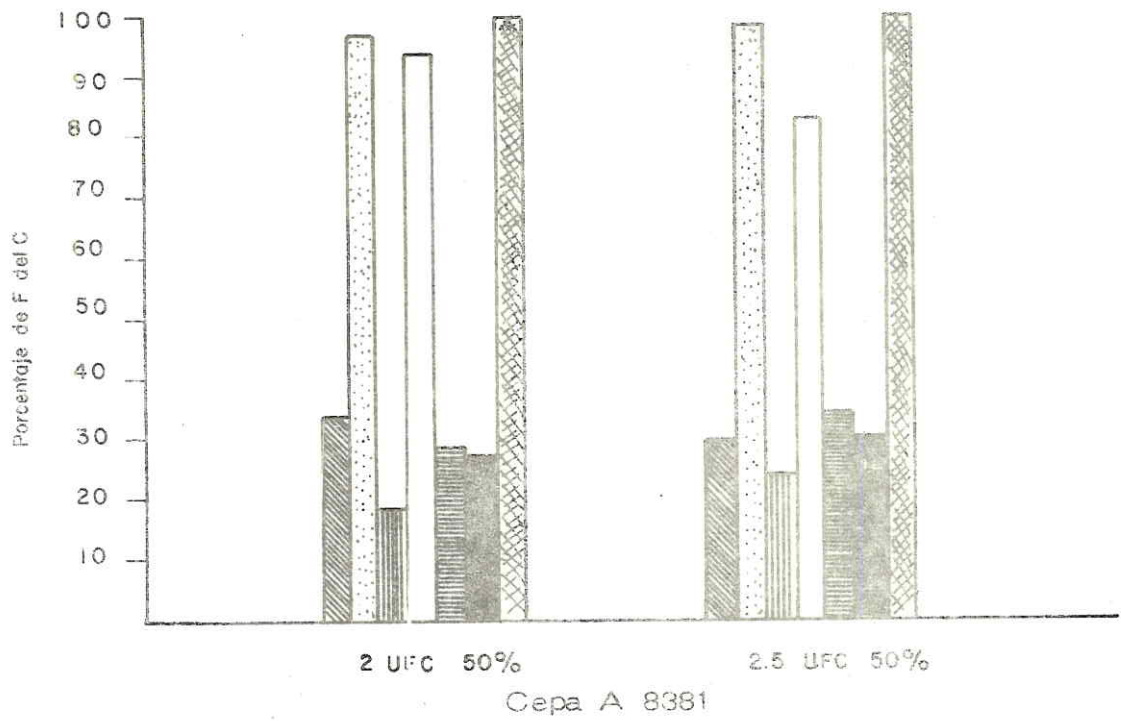


Figura 8 Subtipificaciones de las cepas originales de epitelio bovino A8381 y A8480 utilizando 2 concentraciones de antígeno.

TABLA 9 Subtipificación de tres replicaciones aplicadas a seis cepas del virus tipo A de la fiebre aftosa sobre material de epitelio lingual bovino para análisis estadístico

Cepa <sup>1</sup>	Porcentaje de F. del C.						
	Antisueros						
	A16	A24	A26	A27	A31	A32	ASab
A6000	32	100	90	17	17	50	80
A6000	18	100	74	14	12	50	83
A6000	26	100	83	17	15	51	86
A6304	7	41	18	100	17	6	20
A6304	54	22	18	100	15	7	16
A6304	74	37	9	100	21	12	12
A7510	4	91	70	2	13	44	100
A7510	12	76	42	15	27	47	100
A7510	7	82	69	11	8	40	100
A8046	90	70	25	100	69	39	52
A8046	98	84	46	100	70	38	85
A8046	83	64	19	100	32	11	60
A8331	13	97	19	94	34	22	100
A8331	41	98	17	96	18	26	100
A8331	43	97	16	94	34	31	100
A8480	100	66	47	72	50	48	66
A8480	100	64	51	82	59	51	59
A8480	100	65	57	57	39	50	42

<sup>1</sup> Concentración a 2 UFC 50%